

**INVESTIGACIÓN DE LOS RECURSOS BIOACUÁTICOS Y SU AMBIENTE**  
*Unidad de los Recursos Demersales Bentónicos y Agua Dulce/Embalses*

**PROGRAMA CAMARÓN**

**REPORTE BIOLÓGICO-PESQUERO, NOVIEMBRE-2021**

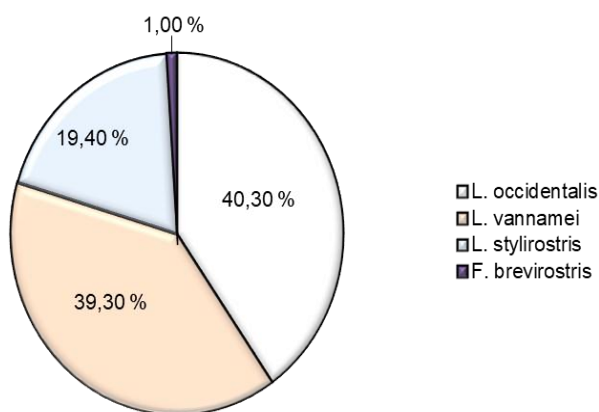
**PROYECTO: “Seguimiento a los desembarques y muestreos biológicos del camarón langostino en el puerto pesquero artesanal de Playas, provincia del Guayas”**

**DESEMBARQUES DE LANGOSTINO ARTESANAL EN EL PUERTO GENERAL VILLAMIL PLAYAS, PROVINCIA DEL GUAYAS, ECUADOR**

Se describe la data biológica-pesquera obtenida para el recurso camarón langostino en noviembre de 2021, la misma que proviene del seguimiento mensual a los desembarques de la flota artesanal del puerto pesquero de Playas. Los datos biológicos se obtuvieron procesando muestras de langostino artesanal, entregadas a la planta procesadora de camarón, Natluk, ubicada en el puerto de Playas; complementariamente, los datos pesqueros—captura, esfuerzo, zonas de pesca, entre otros—fueron obtenidos mediante encuestas dirigidas a los armadores y pescadores del puerto mencionado.

**1. COMPOSICIÓN POR ESPECIE**

La composición por especie de camarón langostino, se muestra en la figura 1, observándose para *Litopenaeus occidentalis* y *L. vanamei*, una mayor presencia de estas dos especies de camarón blanco (40,30 y 39,30 % respectivamente). Para *L. stylirostris* (camarón azul) se registró un 19,4 % como parte de la composición por especie, y para *Farfantepenaeus brevisrostris* (camarón rojo) solamente un 1%.



**Figura 1.** Composición por especie correspondiente al camarón langostino artesanal monitoreado en el puerto de Playas. Monitoreo de noviembre, 2021

## 2. ESTRUCTURAS DE TALLAS

Describiendo las estructuras de tallas para las especies: *L. occidentalis*, *L. vanamei* y *L. stylirostris* (Tabla 1), se aprecia para *L. occidentalis*, una mayor talla media de captura ( $17,48 \pm 0,31$  cm de Lt) en comparación con las tallas medias de captura estimadas para *L. vannamei* y *L. stylirostris* ( $16,09 \pm 0,25$  y  $16,39 \pm 0,36$  cm respectivamente). Adicionalmente, *L. occidentalis*, presentó un rango de tallas más amplio (14,30-23,20) en comparación con los rangos de tallas correspondientes a las dos especies mencionadas.

**Tabla 1.** Estadísticos descriptivos, calculados para las estructuras de tallas de tres especies de camarón langostino, noviembre 2021

Estadísticos	<i>L. occidentalis</i>	<i>L. vannamei</i>	<i>L. stylirostris</i>
Media*	$17,48 \pm 0,31^{**}$	$16,09 \pm 0,25^*$	$16,39 \pm 0,36^{**}$
Moda*	16,20	15,80	15,70
Mínima*	14,30	13,80	13,00
Máxima*	23,20	19,20	18,60
Desviación estándar	1,42	1,47	1,10
Varianza de la muestra	2,01	1,32	1,22
Nro. de individuos***	81,00	79,00	39,00

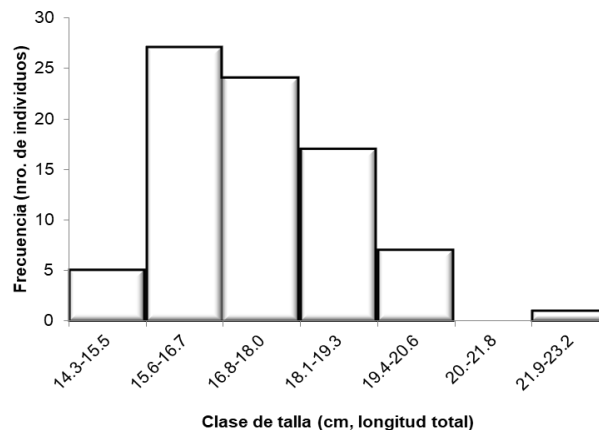
\*: Estadísticos calculados (en cm de longitud total)

\*\* : Nivel de confianza (95 %)

\*\*\*: Tamaño de la muestra

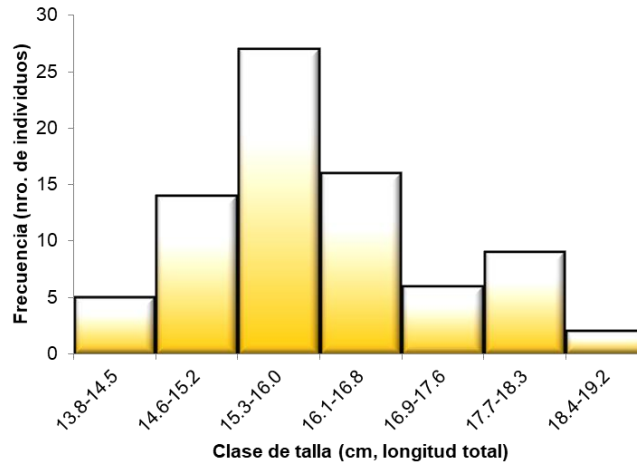
### 2.1. DISTRIBUCIONES DE FRECUENCIAS DE TALLA

La estructura de tallas obtenida para el langostino, *L. occidentalis*, se compuso de 81 individuos, con sexos combinados, presentando una distribución de frecuencias asimétrica y multimodal, con un pico modal en la clase de tallas 15,60-16,70 cm, distribuyéndose las tallas, en un rango desde 14,30 hasta 23,20 cm de LT (Figura 2, Tabla 1).



**Figura 2.** Histograma de frecuencias de tallas, obtenido para el camarón langostino *Litopenaeus occidentalis*, noviembre 2021

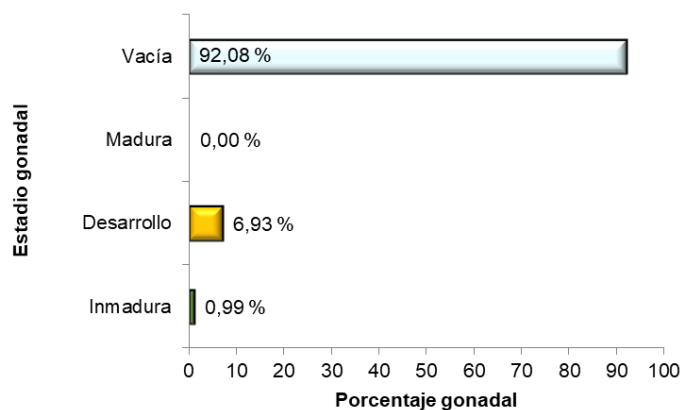
La estructura de tallas obtenida para el langostino, *L. vannamei*, se compuso de 79 individuos, con sexos combinados, presentando una distribución de frecuencias multimodal, con un pico modal en la clase de tallas 15,30-16,00 cm. El rango de tallas se ubicó desde 13,80 hasta 19,20 cm de LT (Figura 3, Tabla 1).



**Figura 3.** Histograma de frecuencias de tallas, obtenido para el camarón langostino *Litopenaeus vannamei*, noviembre 2021

### 3. ESTADIOS GONADALES

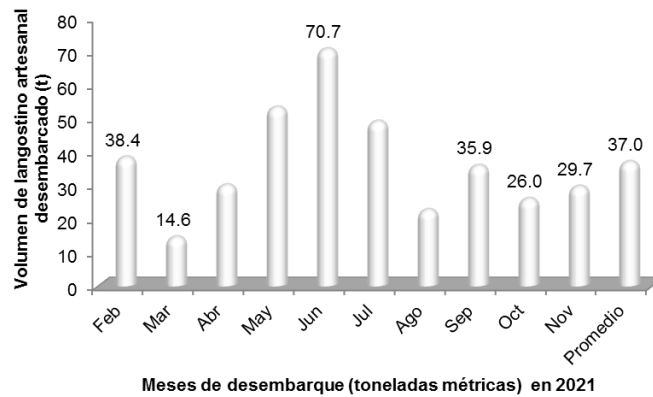
La figura 4 muestra estadios gonadales-reproductivos, observados porcentualmente para individuos hembras de camarón langostino, según el monitoreo de noviembre. Los porcentajes observados: 92,08; 6,93 y 0,99 %, correspondientes a los estadios gonadales: *Vacía*, *Desarrollo* e *Inmadura*, indican actividad reproductiva del recurso langostino, especialmente por el elevado porcentaje registrado en el estadio *Vacía*; es decir, el 92,08 % de hembras que han desovado.



**Figura 4.** Estadios gonadales-reproductivos, observados porcentualmente para individuos hembras del recurso camarón langostino (especies: *Litopenaeus occidentalis*, *L. vannamei*, *L. stylirostris*), noviembre 2021

#### 4. DESEMBARQUES

Según el monitoreo de diez meses (febrero-noviembre, 2021) correspondiente a los desembarques de camarón langostino en el puerto de Playas, se registró un promedio mensual de 37,0 toneladas (t), observándose un valor máximo de 70,7 t en junio, y un mínimo de 14,6 t, en marzo (Figura 5).



**Figura 5.** Desembarque mensual del camarón langostino artesanal en el puerto de Playas, desde febrero hasta noviembre de 2021

Desde febrero hasta junio, se aprecia una tendencia de aumento del volumen desembarcado del 45,7 %; por el contrario, desde junio hasta noviembre se observa una disminución del 58,0 %; evidenciándose, no obstante, que para noviembre, el volumen desembarcado de 29,7 t fue ligeramente mayor (12,5 %) que el desembarcado en octubre de 26,0 t (Figura 5).

**Líder del proyecto:** Jorge Correa Cárdenas  
[jcorrea@institutopesca.gob.ec](mailto:jcorrea@institutopesca.gob.ec)

**Elaborado por:** Francis Nicolaidis Roca  
[fnicolaides@institutopesca.gob.ec](mailto:fnicolaides@institutopesca.gob.ec)